

## บทที่ 5

### ผลทดสอบและวิเคราะห์ผลการศึกษาของดินเหนียวบัวมต้าตា ผสมซีเมนต์และถ่านชีวมวล

#### แนวทางการหาตัวแปรประสิทธิภาพการแทนที่ซีเมนต์ด้วยถ่านชีวมวล

ถ่านอย (Fly ash) เป็นวัสดุปอชโซล่า ปัจจุบันถ่านอยแบ่งเป็นสองประเภทใหญ่ ๆ คือ ถ่านอยที่เหลือจากการกระบวนการผลิตกระแสไฟฟ้าจากถ่านหิน และถ่านอยที่เหลือจากการเผาไหม้จากวัสดุธรรมชาติ เช่น แกลบ เปล็อกไม้ ชานอ้อย เป็นต้น เรียกถ่านประเกนี้ว่าถ่านชีวมวล สำหรับประเทศไทยซึ่งเป็นประเทศเกษตรกรรม วัสดุเหลือใช้จากการธรรมชาติมีอยู่มากหมายดังนั้นการนำถ่านชีวมวลมาใช้ทดแทนปูม้าและซีเมนต์บางส่วนสำหรับการปรับปรุงคุณภาพของดิน เพื่อลดต้นทุนการก่อสร้างและผลกระทบทางด้านสิ่งแวดล้อมจริงเป็นสิ่งที่น่าสนใจ อีกทั้งการใช้ประโยชน์จากถ่านประเกนี้มีส่วนช่วยลดภาวะโลกร้อนได้ การประยุกต์ใช้ถ่านชีวมวลในงานดินนั้นยังไม่เป็นที่แพร่หลายมากนัก เนื่องจากยังขาดความรู้ความเข้าใจที่ลึกซึ้งเกี่ยวกับการพัฒนาลักษณะทางวิศวกรรม ในบทนี้จะกล่าวถึงแนวทางการหาตัวแปรประสิทธิภาพการแทนที่ซีเมนต์ด้วยถ่านชีวมวล พร้อมทั้งสร้างสมการทำนายกำลังอัด ตัวแปรประสิทธิภาพการแทนที่ซีเมนต์ด้วยถ่านชีวมวล ( $k$ ) นี้ หมายถึงความสามารถของวัสดุปอชโซล่าในการแทนที่เปรียบเทียบกับการใช้ปูนซีเมนต์อย่างเดียวนี้ เมื่อใช้ปูนซีเมนต์ชนิดเดียวกัน นั้นคือตัวแปรประสิทธิภาพ ( $k$ ) มีค่าเท่ากับ 1 เมื่อกำลังของดินซีเมนต์มีค่าเท่ากับดินซีเมนต์ถ่านอย ดังนั้นเพื่อให้ตัวแปรประสิทธิภาพนี้สามารถประยุกต์ใช้ในการทำนายกำลังอัดของดินซีเมนต์ถ่านอย การทำความเข้าใจในพฤติกรรมการรับกำลังอัดซึ่งจะกล่าวในหัวข้อถัดไป

#### 1. คุณสมบัติทางเคมี คุณสมบัติพื้นฐาน

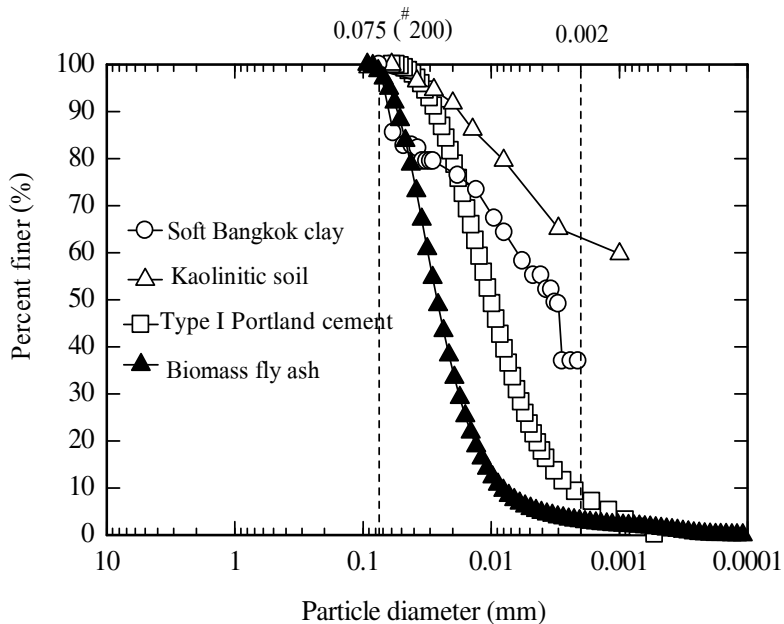
การศึกษาในส่วนนี้ใช้ดินที่มีการบวมตัวต่ำสองชนิดคือ ดินเหนียวคาโอลีนท์หรือดินขาวและดินเหนียวอ่อนกรุงเทพ ดินเหนียวอ่อนกรุงเทพถูกเก็บที่ความลึก 3 ถึง 4 เมตรจากผิวดินภายในบริเวณสถานที่ก่อสร้างทางหลวงพิเศษ (วงแหวนรอบนอกตะวันออก) อำเภอลำลูกกา จังหวัดกรุงเทพฯ ค่าพิกัดอัตเตอร์เบอร์กพาได้จากวิธี Fall cone ตามมาตรฐาน BS: 1377- part II, 1990 ค่าซีดจำกัดเหลวของดินเหนียวคาโอลีนท์ และดินเหนียวอ่อนกรุงเทพเท่ากับ 42.5 และ 92.15

เปอร์เซ็นต์ ตามลำดับและพิกัดพลาสติกเท่ากับ 27.5 และ 31.8 เปอร์เซ็นต์ ตามลำดับ คุณสมบัติทางกายภาพและองค์ประกอบทางเคมีของวัสดุทดสอบแสดงดังในตารางที่ 5.1 และการกระจายตัวของวัสดุทดสอบดังในภาพที่ 5.1

ตารางที่ 5.1

คุณสมบัติทางกายภาพและองค์ประกอบทางเคมีของดินคาโอลайн์ที่ dinheniyawon กรุงเทพ  
ถ้าชีมวลและปูนซีเมนต์ปอร์ตแลนด์ประเภทที่ 1

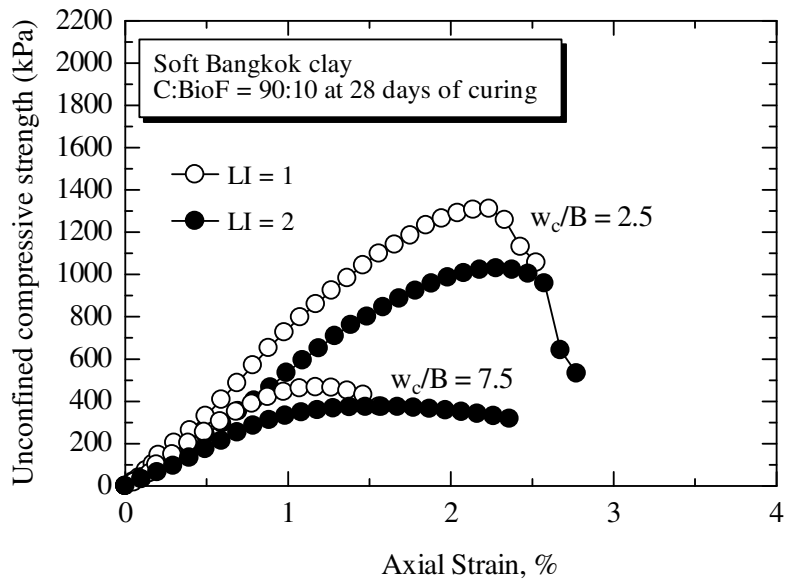
Chemical Compounds	Biomass ash	Portland Cement Type I	Kaolinitic Soil	Soft Bangkok clay
% $SiO_2$	74.12	20.90	59.79	63.83
% $Al_2O_3$	0.57	4.76	31.84	21.34
% $Fe_2O_3$	0.88	3.41	1.59	8.41
% $MgO$	1.54	1.25	-	1.54
% $CaO$	5.91	65.41	-	0.94
% $Na_2O$	3.33	0.24	-	0.28
% $K_2O$	1.71	0.35	3.05	2.45
% $SO_3$	0.50	2.71	0.05	1.22
Specific Gravity	1.95	3.15	2.78	2.71
LOI	7.45	0.96	3.68	
สูตรเชื้อเพลิง	ถ้าชีมวล			
แกลบ	36%			
เบลีก็อกไน	24%			
ไม้บอร์ด	6%			
ไม้ขุ่นคาสปะเอียด	23%			
แกลบอัดเม็ด	11%			



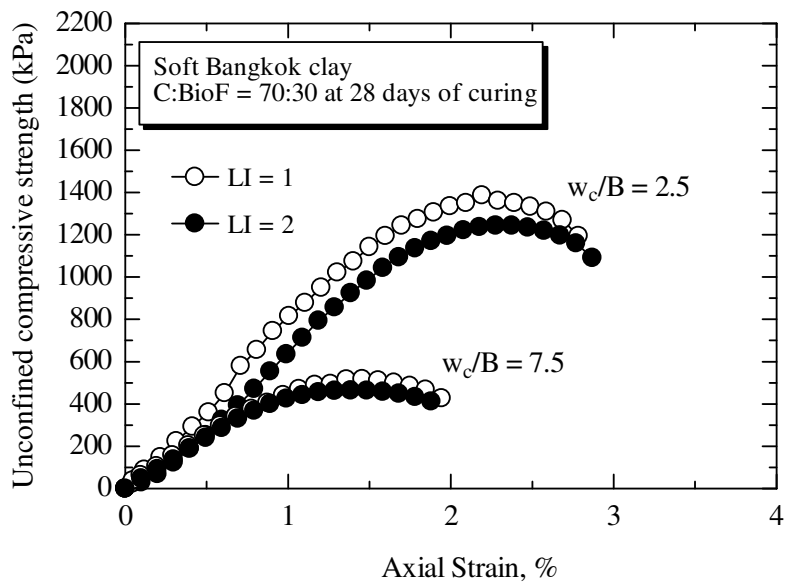
ภาพที่ 5.1 การกระจายตัวของดินคาโอลิโนท์ ดินเหนียวอ่อนกรุ่งเทพ ปูนซีเมนต์  
ปอร์ตแลนด์平常ที่ 1 และถ่านชีวมวล

## 2. ความสัมพันธ์ความเค้น- ความเครียดของดินซีเมนต์ถ่านชีวมวล

ภาพที่ 5.2 ถึง 5.5 แสดงความสัมพันธ์ความเค้น- ความเครียดของดินเหนียวกรุ่งเทพ และดินเหนียวคาโอลิโนท์ผสมซีเมนต์และถ่านชีวมวลที่อัตราส่วนการแทนที่ปูนซีเมนต์เท่ากับ 10 และ 30 เปอร์เซ็นต์โดยน้ำหนักของปูนซีเมนต์ ที่ระยะเวลา 28 ถึง 60 วัน ตามลำดับพบว่ากำลังของดินซีเมนต์ถ่านชีวมวลมีค่ากำลังใกล้เคียงกันแม้ว่าจะมีปริมาณความชื้นเริ่มต้นที่ต่างกันตามที่มี พฤติกรรมคล้ายกับดินซีเมนต์ดังได้กล่าวในบทที่ผ่านมา เมื่อดินตัวอย่างจะมีปริมาณความชื้นเริ่มต้นที่แตกต่างกัน ( $L_1 = 1, 2$ ) ก็ตาม หากแต่มีอัตราส่วนปริมาณความชื้นในดินต่อปริมาณส่วนผสมเท่ากันแล้ว ดินซีเมนต์ถ่านชีวมวลจะมีค่ากำลังอัดแกนเดียวสูงที่สุดใกล้เคียงกัน และพบว่าที่ระยะเวลา 60 วัน ดินซีเมนต์ถ่านชีวมวลให้กำลังอัดแกนเดียวสูงที่สุดและสูงกว่าที่ระยะเวลา 28 วัน ทั้งนี้เนื่องมาจากการปฏิกิริยาร่วมที่เกิดจากปูนซีเมนต์และถ่านชีวมวล ดังนั้นตัวแปรที่ควบคุมกำลังอัดแกนเดียวของดินซีเมนต์ผสมถ่านชีวมวลคืออัตราส่วนปริมาณความชื้นในดินต่อส่วนผสมและระยะเวลาบ่ม

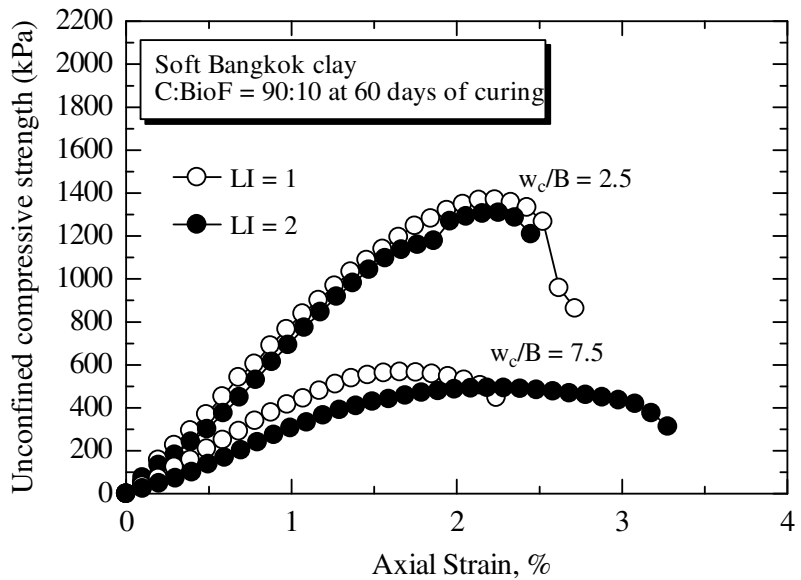


ก ) บุนชี่เมนต์ : เถ้าชีวมวล = 90:10

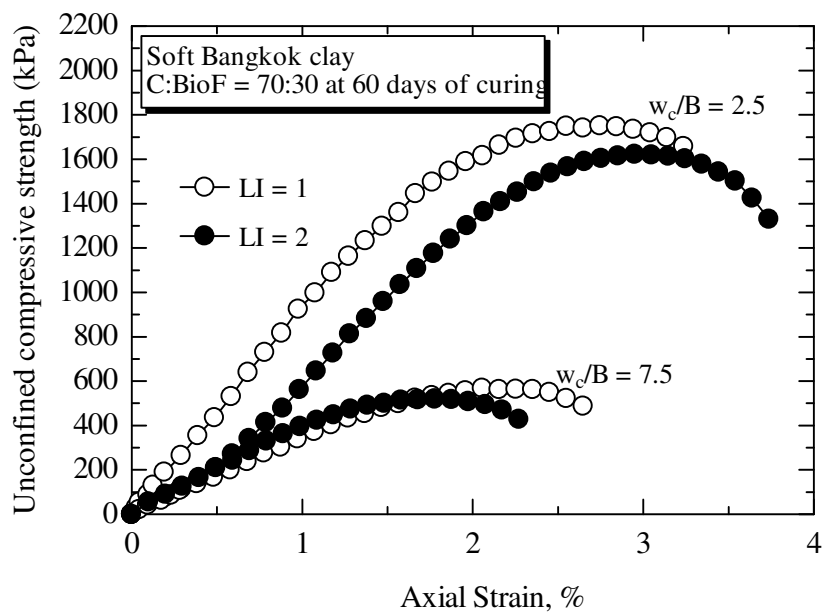


ข ) บุนชี่เมนต์ : เถ้าชีวมวล = 70:30

ภาพที่ 5.2 ความสัมพันธ์ความเดิน – ความเครียดของดินเหนียวกรุ่นเทพผสมชีเมนต์และ  
เถ้าชีวมวลที่อายุบ่ม 28 วัน

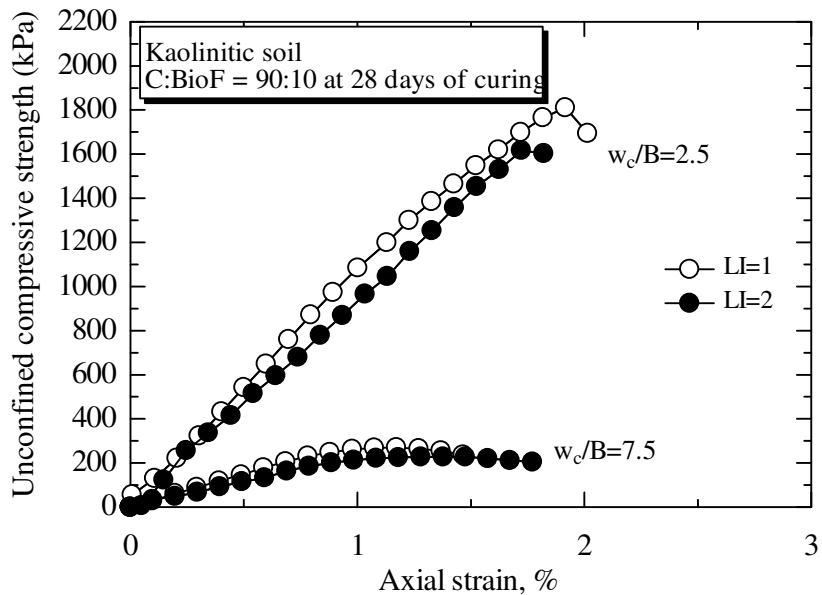


ก ) บุนชี่เมนต์ : เถ้าชีวมวล = 90:10

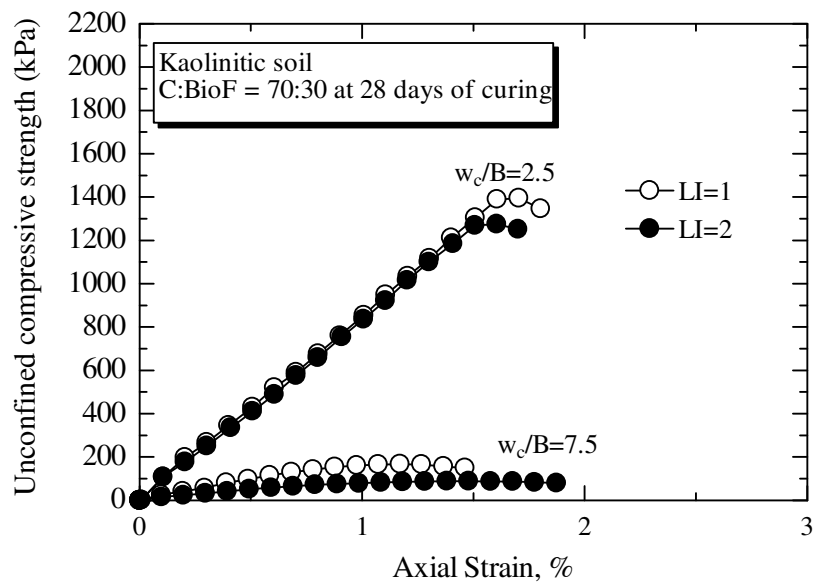


ข ) บุนชี่เมนต์ : เถ้าชีวมวล = 70:30

ภาพที่ 5.3 ความสัมพันธ์ความเด่น – ความเครียดของดินเหนียวกรุงเทพสมบูรณ์เมนต์และ  
เถ้าชีวมวลที่อายุปั่น 60 วัน

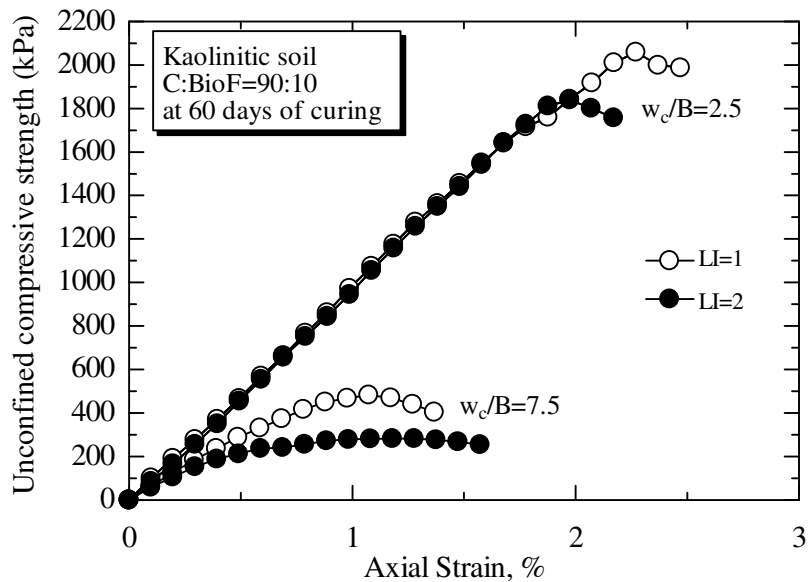


ก) บุนซีเมนต์ ต่อ เถ้าชีวมวล = 90:10

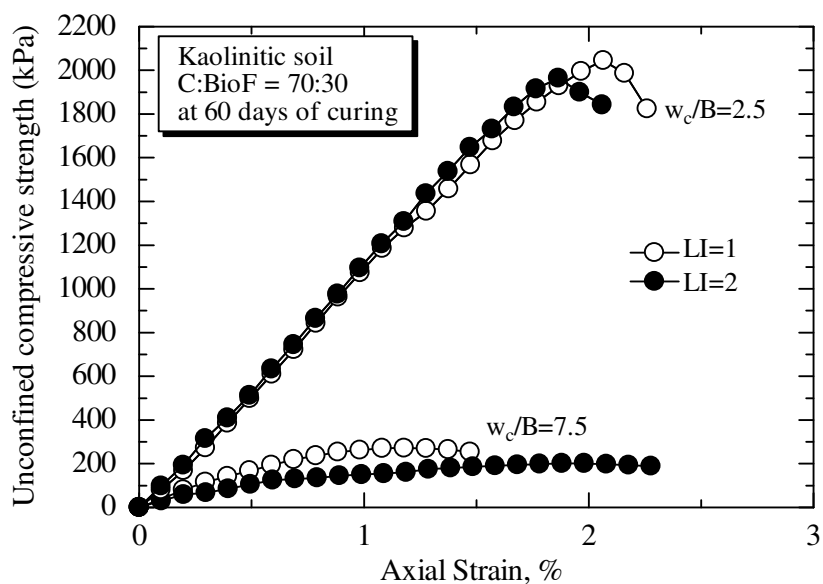


ข) บุนซีเมนต์ ต่อ เถ้าชีวมวล = 70:30

ภาพที่ 5.4 ความสัมพันธ์ความเค็น – ความเครียดของดินเหนียวคาโอลิโนท์ผสานซีเมนต์  
และเถ้าชีวมวลที่อายุบ่ม 28 วัน



ก) บุนชีเมนต์ ต่อ เถ้าชีมวล = 90:10

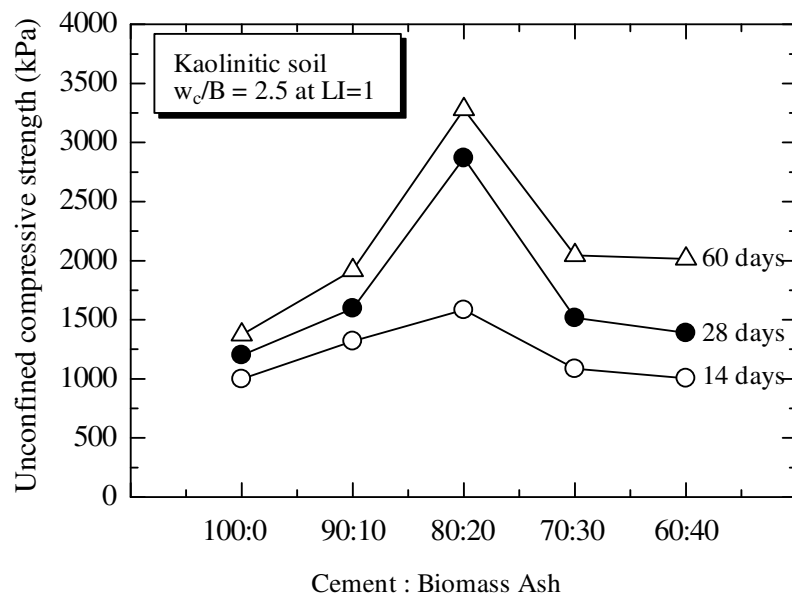


ข) บุนชีเมนต์ ต่อ เถ้าชีมวล = 70:30

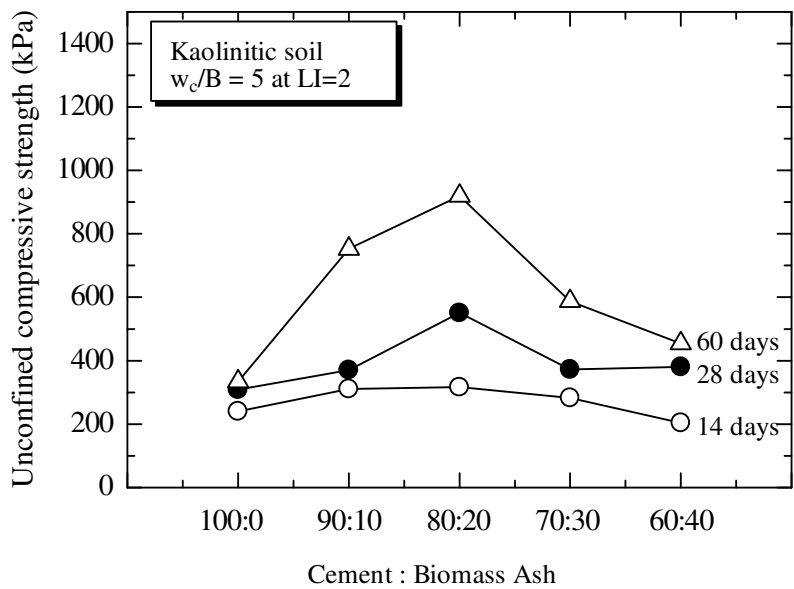
ภาพที่ 5.5 ความสัมพันธ์ความเค้น – ความเครียดของดินเหนียวคาโอลีโนท์ผสานชีเมนต์  
และเถ้าชีมวลที่อายุบ่ม 60 วัน

นอกจากตัวแปรอัตราส่วนปริมาณความชื้นในดินต่อปริมาณส่วนผสมและระยะเวลาปั่นจะเป็นตัวควบคุมกำลังอัดแกนเดียวของดินซีเมนต์ผสมเส้าโดยแล้ว อัตราส่วนการแทนที่ปูนซีเมนต์ด้วยเส้าโดยก็เป็นอีกหนึ่งปัจจัยที่ต้องพิจารณา

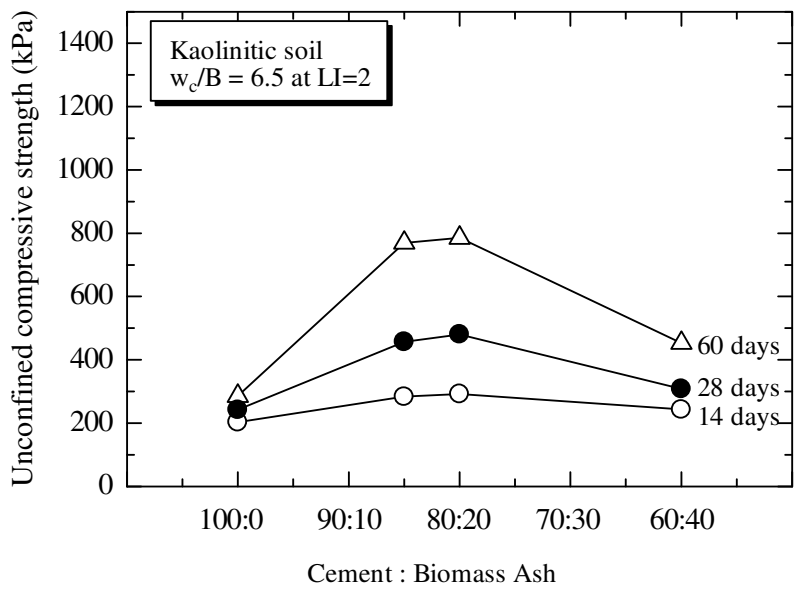
ภาพที่ 5.6 แสดงความสัมพันธ์กำลังอัดแกนเดียวของดินคาโอลิโน่ผสมซีเมนต์และเส้าชีวนวลดที่อายุบ่ำ 14 ถึง 60 วัน และมีปริมาณความชื้นเริ่มต้นเท่ากับ 1 ถึง 2 เท่าของดัชนีเหลาและอัตราส่วนการแทนที่ 10 ถึง 40 เปอร์เซ็นต์โดยน้ำหนักของปูนซีเมนต์พบว่าที่อัตราส่วนปริมาณความชื้นในดินต่อส่วนผสมและระยะเวลาปั่นหนึ่งๆ อัตราส่วนการแทนที่ 20 เปอร์เซ็นต์มีค่ากำลังอัดแกนเดียวสูงที่สุด และที่อัตราส่วนการแทนที่ 30 และ 40 เปอร์เซ็นต์กำลังลดลง ดินซีเมนต์เส้าชีวนวลดจะมีค่าสูงกว่าดินซีเมนต์ที่ระยะเวลาปั่นมากกว่า 28 วันที่อัตราส่วนปริมาณความชื้นในดินต่อส่วนผสมเท่ากับ 2.5 5 และ 6.5 เท่านั้น ทั้งนี้อาจเนื่องมาจากการใช้ปริมาณเส้าชีวนวลดในการแทนที่ปูนซีเมนต์ในปริมาณมากเกินไปทำให้ปริมาณของคัลเซียมไฮドรอไซด์ที่จะเกิดขึ้นมีปริมาณน้อยที่ระยะเวลาช่วงต้นและไม่เพียงพอต่อปฏิกิริยาปูนซีเมนต์ได้



ก) ที่  $w_c/B = 2.5$



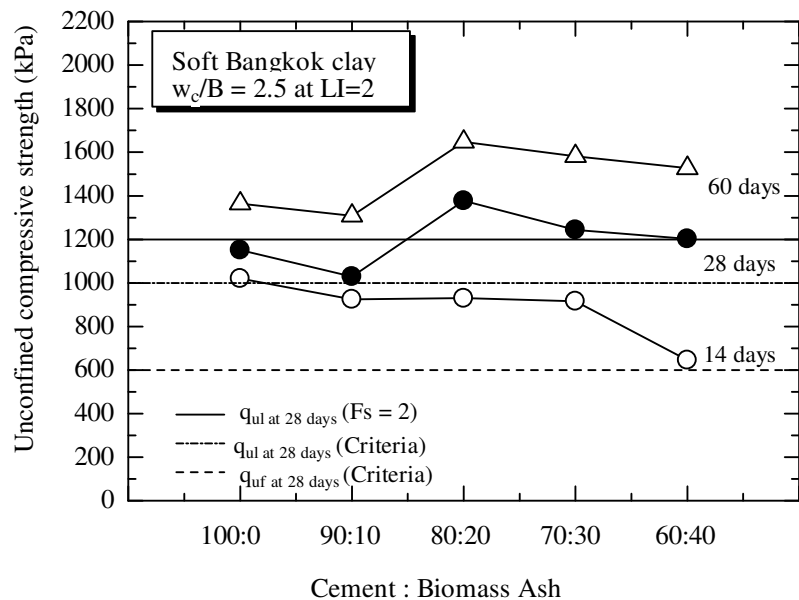
ก) ที่  $w_c/B = 5$



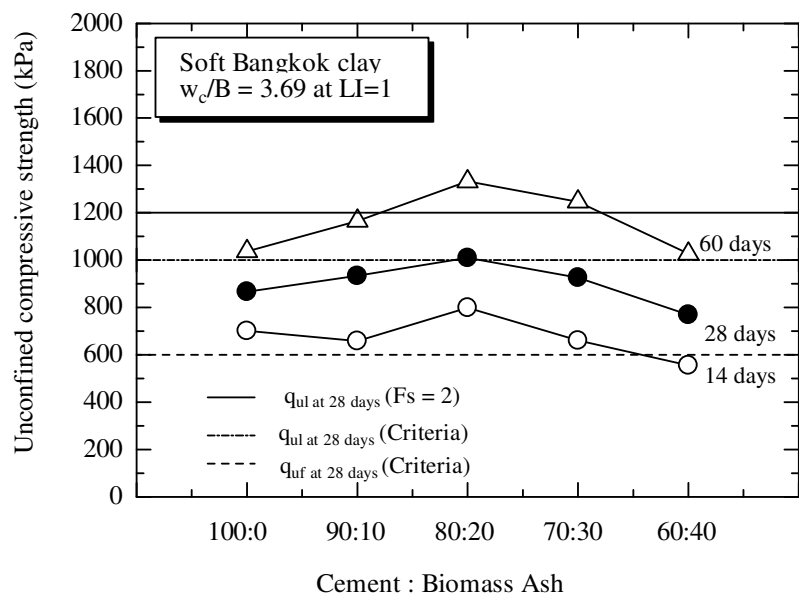
ก) ที่  $w_c/B = 6.5$

ภาพที่ 5.6 กำลังอัดแกนเดี่ยวของดินขาวหรือดินคาโอลีนที่ผสานซีเมนต์และเก้าชีวมวลที่อัตราส่วนการแทนที่ 10 ถึง 40 เปอร์เซ็นต์โดยน้ำหนักปูนซีเมนต์

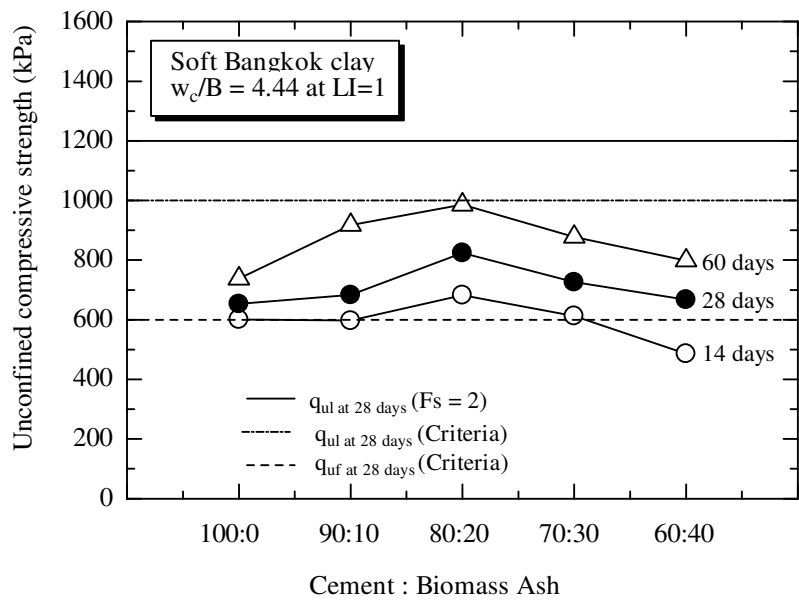
ภาพที่ 5.7 แสดงความสัมพันธ์กำลังอัดแกนเดียวของดินเหนี่ยวอ่อนกรุ่นเทพสมชีเมนต์ และถ้าชีมวลที่อายุบ่ม 14 ถึง 60 วัน ปริมาณความชื้นเริ่มต้นเท่ากับ 1 ถึง 2 เท่าของค่าเฉลี่วที่ อัตราส่วนปริมาณความชื้นในดินต่อส่วนผสมเท่ากับ 2.5 ถึง 5.55 ที่อัตราส่วนการแทนที่ 10 ถึง 40 เปอร์เซ็นต์โดยน้ำหนักของปูนซีเมนต์พบว่าทุกอัตราส่วนปริมาณความชื้นในดินต่อส่วนผสม ( $w_c/B$  = 2.5 – 5.55) ที่จะบ่มมากกว่า 28 วัน อัตราส่วนการแทนที่ 20 เปอร์เซ็นต์ให้ค่ากำลังอัดแกน เดียวสูงที่สุด เช่นเดียวกับดินเหนี่ยวคาโอลิโนท์ และจากข้อกำหนดตามมาตรฐานกรมทางหลวง แห่งประเทศไทยสำหรับการทำเสาเข็มดินซีเมนต์ได้กำหนดกำลังอัดของดินซีเมนต์ใน ห้องปฏิบัติการ (Laboratory unconfined compressive strength,  $q_{ul}$ ) ที่จะบ่ม 28 วันเท่ากับ 1000 กิโลปอนด์ ตั้งนั้นจากภาพที่ 5.7 พบว่าที่อัตราส่วนปริมาณความชื้นในดินต่อปริมาณ ส่วนผสมเท่ากับ 2.5 การแทนที่ด้วยถ้าชีมวลเท่ากับ 20 ถึง 30 เปอร์เซ็นต์ นั้นมีประโยชน์อย่าง มากเพริ่งสามารถให้กำลังอัดแกนเดียวของเสาเข็มดินซีเมนต์มากกว่าที่มาตรฐานกรมทางหลวง กำหนดไว้ แต่เมื่ออัตราส่วนผสมอยู่ในช่วง  $w_c/B$  เท่ากับ 3.69 แล้วนั้นที่อัตราส่วนการแทนที่เท่ากับ 20 เปอร์เซ็นต์เท่านั้นจึงจะเป็นอัตราส่วนการแทนที่ที่เหมาะสมที่สุดสำหรับดินเหนี่ยวอ่อนกรุ่นเทพ บริเวณคำเกอคำลูกกา- ธัญบุรี แต่เมื่อดินซีเมนต์ถ้าชีมวลมีอัตราส่วนปริมาณความชื้นต่อ ส่วนผสมมากกว่า 3.69 แล้วนั้นจะเป็นสัดส่วนที่ไม่เหมาะสมในการใช้งานสำหรับดินบริเวณนี้ เพราจะกำลังอัดแกนเดียวของดินซีเมนต์ถ้าชีมวลให้ค่าต่ำกว่าที่มาตรฐานกำหนดมาก แต่ถ้า พิจารณาข้อกำหนดมาตรฐานกรมทางหลวงในสนาม (Field unconfined compressive strength,  $q_{uf}$  = 600 kPa ที่ 28 วัน) นั้น พบว่าอัตราส่วนการแทนที่ตั้งแต่ 10 ถึง 40 เปอร์เซ็นต์ที่ อัตราส่วนปริมาณความชื้นในดินต่อส่วนผสมตั้งแต่ 2.5 ถึง 4.44 นั้นจะให้กำลังที่สูงกว่าค่า มาตรฐานในสนามที่กรมทางหลวงได้กำหนดไว้ แต่ทั้งนี้ที่อัตราส่วนการแทนที่เท่ากับ 20 เปอร์เซ็นต์จะให้ค่ากำลังอัดแกนเดียวสูงกว่ากำลังอัดแกนเดียวในสนามที่มาตรฐานกรมทางหลวง กำหนดไว้เมื่ออัตราส่วนปริมาณความชื้นในดินต่อส่วนผสมเท่ากับ 2.5 ถึง 5.55 สำหรับในกรณี ของงานออกแบบที่ต้องการอัตราส่วนความปลอดภัยเท่ากับ 2 นั้น ( $q_{ul} = 2q_{uf}$ ) พบว่าที่อัตราส่วน การแทนที่ 20 ถึง 30 เปอร์เซ็นต์ ของอัตราส่วนปริมาณความชื้นในดินต่อส่วนผสมเท่ากับ 2.5 ถึง 3.69 ที่จะบ่มมากกว่า 60 วัน ให้ค่ากำลังอัดตามต้องการ (1200 kPa) ดังนั้นเพื่อให้เกิด ประโยชน์ทั้งทางด้านวิศวกรรมและเศรษฐศาสตร์ (กำลังและระยะเวลา) ผู้เชี่ยวชาญขอแนะนำ อัตราส่วนการแทนที่ดีที่สุดด้วยถ้าชีมวลนี้สำหรับดินเหนี่ยวอ่อนกรุ่นเทพ เท่ากับ 20 เปอร์เซ็นต์ โดยน้ำหนักของปูนซีเมนต์แต่สำหรับอัตราส่วนผสมนั้นควรประยุกต์ใช้สมการที่ 4.8 ซึ่งในการ ออกแบบเมื่อปริมาณความชื้นเท่ากับ 1 ถึง 2 เท่าของค่าดัชนีเหลว



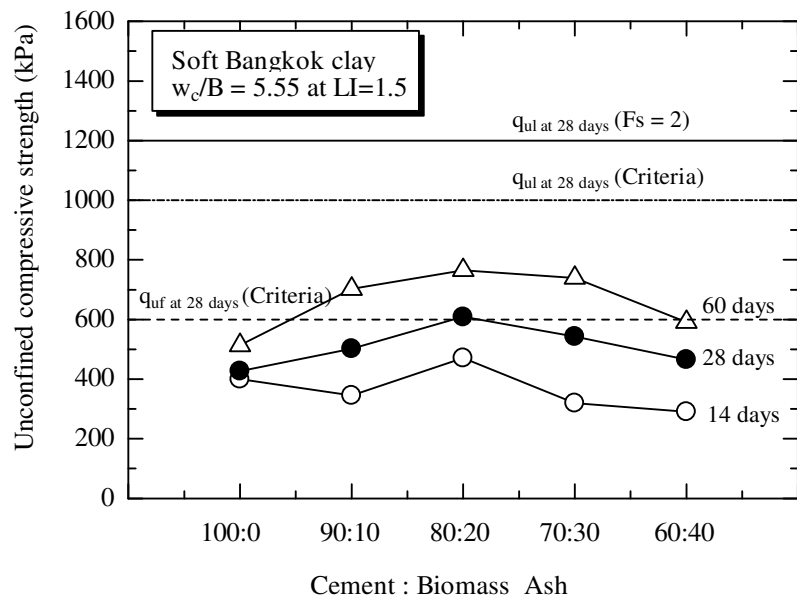
η)  $\eta$   $w_c/B = 2.50$



η)  $\eta$   $w_c/B = 3.69$



๑)  $\text{ที่ } w_c/B = 4.44$



๔)  $\text{ที่ } w_c/B = 5.55$

ภาพที่ 5.7 กำลังอัดแกนเดี่ยวของดินเหนียวกรุงเทพบริเวณอำเภอลำลูกกา – อัมบูร์ ผสมซีเมนต์  
และเต้าขี้วัวมวลที่อัตราส่วนการแทนที่ 10 ถึง 40 เปอร์เซ็นต์ โดยนำหันกปุนซีเมนต์

ดังนั้นจากผลทดสอบข้างต้นผู้เขียนจะนำตัวแปรที่ควบคุมกำลังอัดแกนเดียวของดินซีเมนต์ผสมเล้าชีวมวลทั้ง 3 ตัวแปรคืออัตราส่วนปริมาณความชื้นในดินต่อส่วนผสม ระยะเวลาบ่มและอัตราส่วนการแทนที่ปูนซีเมนต์ตัวyle เล้าชีวมวลมาพิจารณาในการวิเคราะห์ผลด้านการพัฒนาがらสัมภากันเดียวของดินซีเมนต์ผสมเล้าชีวมวลในหัวข้อถัดไป

### 3. ตัวแปรประสิทธิภาพการแทนที่ซีเมนต์ด้วยเล้าชีวมวลของดินบ่มตัวต่าง

#### 3.1 ดิน coils ในที่หรือดินขาว

ในการออกแบบส่วนผสมของดินซีเมนต์เล้าลอยยังไม่มีการศึกษาภัยอย่างแพร่หลาย หากแต่สำหรับงานคอนกรีตผสมเล้าลอยนั้น ตามมาตรฐานอังกฤษ (British Standard) ได้แนะนำค่าแฟกเตอร์ ประสิทธิภาพ (Efficiency Factor) หรือค่า  $k$  โดยการแทนที่ปูนซีเมนต์ด้วยปริมาณเล้าลอยที่มีประสิทธิภาพเทียบเท่าความสามารถของปูนซีเมนต์ ดังนั้นจึงมีความเป็นไปได้ที่จะนำค่าแฟกเตอร์ประสิทธิภาพนี้มาประยุกต์ใช้กับงานดินและเป็นแนวทางในการคำนวณกำลังอัดแกนเดียวของดินซีเมนต์เล้าลอยได้

Horpibulsuk et al. (2003) ได้นำเสนอสมการทำนายกำลังอัดของดินซีเมนต์ที่ปริมาณความชื้น ปริมาณซีเมนต์ และอายุบ่มได้ โดยอาศัยสมมติฐานอัตราส่วนน้ำในดินต่อซีเมนต์ (Clay-water/cement ratio hypothesis) ซึ่งเสนอโดย Miura et al. (2001) สมมติฐานน้ำในดินต่อซีเมนต์กล่าวว่า “กำลังของดินชนิดหนึ่งที่ผสมกับซีเมนต์ขึ้นอยู่กับตัวแปรเพียงตัวเดียวคืออัตราส่วนของปริมาณความชื้นในดินต่อปริมาณซีเมนต์ (Clay-water/cement ratio,  $w_c/C$ )” จากกรอบความคิดดังกล่าวและจากการทดลองในบทที่ผ่านมา ผู้เขียนได้ทำการพิจารณาคำนวณกำลังอัดแกนเดียวของดินซีเมนต์กับส่วนกลับของปริมาณความชื้นในดินต่อปริมาณซีเมนต์,  $C/w_c$  ที่ระยะเวลาบ่มหนึ่งๆ พบร่วมมีความสัมพันธ์เป็นแบบเส้นตรงดังสมการที่ 5.1

$$q_u = A \left( \frac{C}{w_c} \right) + E \quad (5.1)$$

เมื่อ  $q_u$  คือกำลังอัดแกนเดียวที่ระยะเวลาบ่มค่าหนึ่ง (kPa)  $A$  และ  $E$  คือค่าคงที่ซึ่งขึ้นอยู่กับชนิดของดิน และ  $C/w_c$  คือ cement/clay-water ratio ซึ่งคือปริมาณซีเมนต์โดยน้ำหนักแห้งต่อน้ำในดิน

ในกรณีของดินชีเมนต์เจ้าลอย ผู้เขียนได้ประยุกต์กรอบความคิดข้างต้นและหลักการของ การใช้ตัวแปรประสิทธิภาพของวัสดุปอชโซลามาช่วยในการวิเคราะห์ โดยผู้เขียนได้กำหนด ปริมาณชีเมนต์เทียบเท่าคือ  $C_e$  เมื่อปริมาณชีเมนต์เทียบเท่ามีค่าดังสมการที่ 5.2

$$C_e = k \cdot BioF \quad (5.2)$$

เมื่อ  $C_e$  คือปริมาณชีเมนต์เทียบเท่า,  $k$  คือตัวแปรประสิทธิภาพและ  $BioF$  คือปริมาณเจ้าชีมวล (%) ดังนั้นปริมาณส่วนผสมระหว่างชีเมนต์และเจ้าลอย (Binder content) จึงเกิดจากผลรวมของ ปริมาณชีเมนต์ที่ใส่ในการผสม,  $C_i$  และปริมาณชีเมนต์เทียบเท่าที่เกิดจากการใส่เจ้าลอยเข้าไป แทนที่,  $C_e$  ความสัมพันธ์ของการพัฒนาがらงอัดแกนเดียวกับของดินชีเมนต์ในสมการที่ 5.1 จึงถูก ประยุกต์สำหรับがらงอัดแกนเดียวกับของดินชีเมนต์ผสมเจ้าลอยได้ดังสมการที่ 5.3

$$q_u = A \left( \frac{C_i + k \cdot BioF}{w_c} \right) + E \quad (5.3\text{ก})$$

$$q_u = A \left( \frac{C_i}{w_c} \right) + A_2 \left( \frac{BioF}{w_c} \right) + E \quad (5.3\text{ข})$$

เมื่อ ตัวแปรประสิทธิภาพ  $k$  มีค่ากับ  $\frac{A_2}{A}$

ในกรณีที่ค่าตัวแปรประสิทธิภาพ  $k$  มีค่าเท่ากับ 1 หมายถึงความสามารถของวัสดุปอชโซลามที่อัตราส่วนการแทนที่มีค่าเทียบเท่าความสามารถของบุนชีเมนต์ 100 เปอร์เซ็นต์ ดังนั้นจาก สมการข้างต้น ถ้าเราทราบความสัมพันธ์ระหว่างตัวแปรประสิทธิภาพ  $k$  ในพจน์ของอัตราส่วนการ แทนที่และชนิดของดิน เราสามารถนำรายがらงอัดแกนเดียวกับของดินชีเมนต์เจ้าชีมวลได้ จาก ผลทดสอบดินชีเมนต์และดินชีเมนต์ผสมเจ้าชีมวลนำความสัมพันธ์จากสมการที่ 5.3 มาประยุกต์ ได้ดังภาพที่ 5.8 ซึ่งมีความสัมพันธ์เป็นแบบสมการเส้นตรง และพบว่าความสัมพันธ์ของค่าคงที่  $A$  และ  $E$  กับเวลาบนสเกลล์อกกาลีทึมได้ดังสมการที่ 5.4 และ 5.5 และภาพที่ 5.9

$$A = 78.54 + 1234.59 \ln D \quad (5.4)$$

$$E = 162.39 - 181.01 \ln D \quad (5.5)$$

เมื่อ  $D$  คือระยะเวลาบ่ม (วัน)

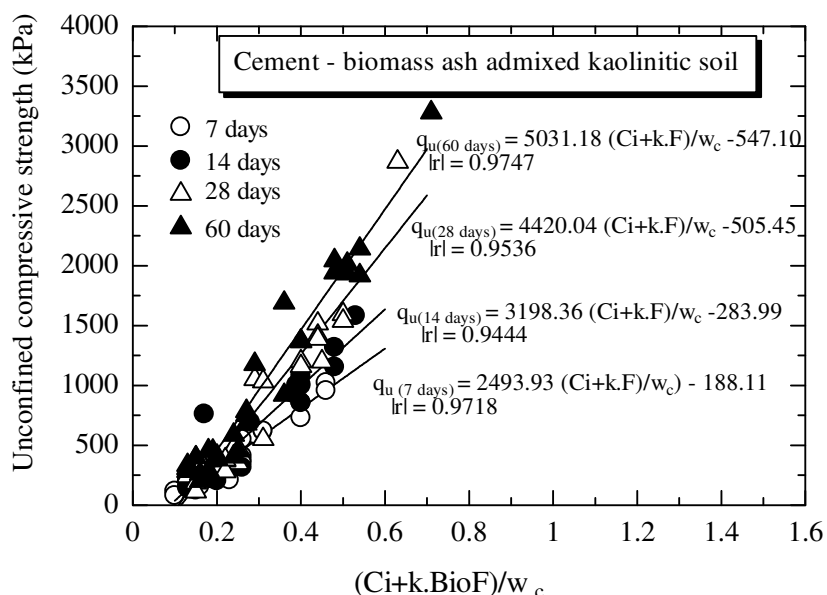
จากการแก้ปัญหาด้วยวิธี Multi Linear Regression ค่าตัวแปรประสิทธิภาพ  $k$  แสดงดังตารางที่ 5.2 จะเห็นว่าค่าตัวแปร  $k$  ที่อัตราส่วนการแทนที่หนึ่ง ๆ จะมีค่าเพิ่มขึ้นตามระยะเวลาดังนั้นผู้เขียนได้พิจารณาอัตราการเปลี่ยนแปลงตัวแปรประสิทธิภาพ  $k$  กับเวลาในสเกลล์ของการที่มีพบร่วมกับความสัมพันธ์เป็นเส้นตรงดังในภาพที่ 5.10 และได้หาความสัมพันธ์ระหว่าง Normalized  $k$ -factor กับเวลาโดยใช้ระยะเวลาบ่มที่ 28 วันเป็นตัวอ้างอิงได้ผลดังสมการที่ 5.6

สำหรับเด็ก้าชีวมวล

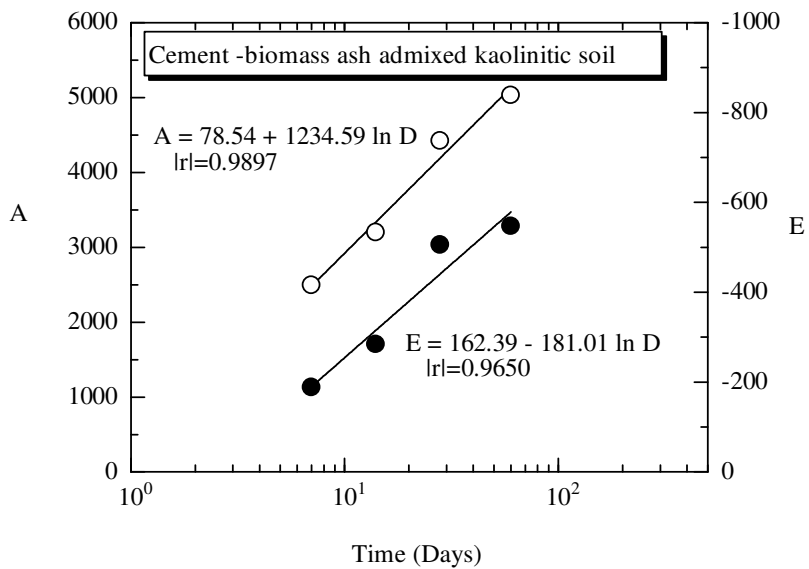
$$\frac{k_D}{k_{28}} = 0.4198 \ln D - 0.405 \quad (5.6)$$

เมื่อ  $k_D$  คือตัวแปรประสิทธิภาพที่ระยะเวลาบ่มหลังจาก  $D$  วัน,  $k_{28}$  คือตัวแปรประสิทธิภาพที่ระยะเวลาบ่มหลังจาก 28 วัน

สมการที่ 5.6 สามารถนำมาประยุกต์ใช้งานได้หากทราบเพียงค่าตัวแปร  $k$  ที่ระยะเวลา 28 วันของอัตราส่วนการแทนที่หนึ่ง ๆ เรายสามารถคำนวณค่าตัวแปร  $k$  ของอัตราส่วนนั้น ๆ ที่ระยะเวลาอื่น ๆ ( $7 - 60$  วัน) ได้



ภาพที่ 5.8 กำลังอัดแกนเดียวของดินเหนียวคาโอลิโนท์ผสมซีเมนต์และเด็ก้าชีวมวล 10 ถึง 40% โดยนำหันกปูนซีเมนต์ที่อยู่บ่มต่าง ๆ



ภาพที่ 5.9 พารามิเตอร์ A และ E กับสเกล็อกการวิ่งของเวลาของดินเหนียวคาโอลิไน์ท์ผสมชีเมนต์และถ่านหินมวล 10 ถึง 40% โดยน้ำหนักปูนชีเมนต์

### ตารางที่ 5.2

ตัวแปรประสิทธิภาพ  $k$  ของถ่านหินมวลในดินคาโอลิไน์ท์ผสมชีเมนต์และถ่านหินมวล

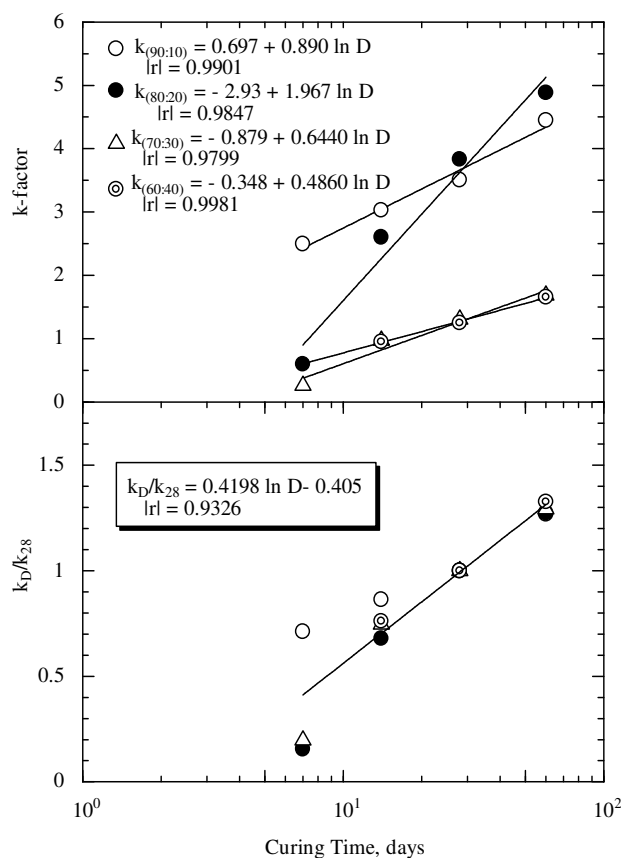
C:BioF	ระยะเวลาบ่ม, วัน	Multi-Linear Regression		$R^2$	$k = \frac{A_2}{A}$
		A	$A_2$		
90:10	7	2609.02	6511.56	0.957	2.50
	14	3065.28	9281.24	0.955	3.03
	28	3663.28	12844.88	0.954	3.51
	60	4469.22	19876.29	0.979	4.45
80:20	7	1994.07	1188.45	0.836	0.60
	14	3233.18	8416.85	0.919	2.60
	28	4632.00	17749.53	0.877	3.83
	60	4937.58	24115.57	0.956	4.88
70:30	7	2495.63	642.29	0.968	0.26
	14	3099.05	3014.71	0.951	0.97

ตารางที่ 5.2 (ต่อ)

C:BioF	ระยะเวลาปั่น, วัน	Multi-Linear Regression	$R^2$	$k = \frac{A_2}{A}$
		A	$A_2$	
	28	4094.07	5337.84	0.922
	60	5209.91	8775.15	0.953
60:40	14	2917.70	2784.68	0.935
	28	3908.80	4881.14	0.919
	60	4512.54	7478.68	0.876

หมายเหตุ

- $C/w_c = 0.1-0.4$  และ  $BioF/w_c = 0 - 0.16$
- $C:BioF$  = ปริมาณซีเมนต์: ปริมาณถ้าชีมวล ในหน่วยเปอร์เซ็นต์



ภาพที่ 5.10 ความสัมพันธ์ระหว่างตัวแปรประสีทิพิภพ  $k$  ของดินค่าโอลีโนท์ผสานซีเมนต์และถ้าชีมวลกับเวลาปั่น normalization

เพื่อตรวจสอบความเป็นไปได้ในการนำตัวแปรประสิทธิภาพ  $k$  นี้ไปประยุกต์ใช้งาน ตารางที่ 5.3 แสดงผลการทำนายกำลังอัดแกนเดียวของดินคาโอลีโนท์ผสมซีเมนต์และถ้าชีวมวลที่อัตราส่วนการแทนที่ 15 เปอร์เซ็นต์ ที่ระยะเวลา 7 ถึง 60 วัน เมื่อค่าตัวแปรประสิทธิภาพ  $k$  ที่ 15 เปอร์เซ็นต์ นี้จากการ Interpolation และสามารถคำนวณหาค่า  $A$  และ  $E$  ได้จากสมการที่ 5.4 และ 5.5 พบว่าความผิดพลาดของผลการทำนายจากค่า Mean Absolute Percent Error, MAPE เท่ากับ 17.84 % ซึ่งอยู่ในเกณฑ์ที่ยอมรับได้ในทางวิศวกรรม

ตารางที่ 5.3

การทำนายกำลังอัดแกนเดียวของดินเหนียวคาโอลีโนท์ผสมซีเมนต์และถ้าชีวมวล 15 %

( $LL = 42.50\%$  and  $PL = 33.5\%$ )

C:BioF	Time, days	$w_c$	$C_i$	$BioF$	$k$	Laboratory	Predicted	$\frac{ q_{up} - q_{ul} }{q_{ul}} \times 100$
						$q_{ul}$	$q_{up}$	,
						kPa	kPa	
100:0	7	42.50	17.00	0	1.00	856.57	802.54	6.31
	7	51.60	20.64	0	1.00	731.17	802.54	9.76
	7	50.89	14.54	0	1.00	626.82	519.00	17.20
	7	58.69	16.77	0	1.00	590.50	519.06	12.10
	7	42.50	8.50	0	1.00	262.81	306.35	16.57
	7	50.89	7.83	0	1.00	220.89	191.88	13.13
	7	51.60	6.88	0	1.00	145.21	140.95	2.93
85:15	7	43.10	10.47	1.85	1.94	579.81	618.93	6.75
	7	50.89	12.36	2.18	1.94	570.84	618.96	8.43
	7	58.69	14.25	2.52	1.94	587.52	618.94	5.35
	7	43.10	5.64	0.99	1.94	268.52	245.68	8.51
	7	50.89	6.66	1.17	1.94	218.59	245.68	12.39
	7	58.69	7.67	1.35	1.94	171.71	245.64	43.05
100:0	14	42.50	17.00	0.00	1.00	997.96	1019.37	2.15
	14	51.60	20.64	0.00	1.00	856.95	1019.37	18.95
	14	50.89	14.54	0.00	1.00	760.28	638.04	16.08

ตารางที่ 5.3 (ต่อ)

C:BioF	Time, days	$w_c$ , %	$C_i$ , %	$BioF$ , %	$k$	Laboratory $q_{ul}$ kPa	Predicted $q_{up}$ kPa	$\frac{ q_{up} - q_{ul} }{q_{ul}} \times 100$ , %
						strength, kPa	strength, kPa	
	14	50.89	7.83	0.00	1.00	301.55	198.03	34.33
	14	42.50	5.67	0.00	1.00	225.68	129.85	42.46
	14	51.60	6.88	0.00	1.00	203.04	129.59	36.18
85:15	14	43.10	14.65	2.59	2.68	1417.88	1355.71	4.38
	14	50.89	12.36	2.18	2.68	667.33	878.29	31.61
	14	58.69	9.98	1.76	2.68	428.77	520.20	21.32
	14	50.84	6.66	1.17	2.68	406.91	328.10	19.37
100:0	28	42.50	17.00	0.00	1.00	1200.54	1236.21	2.97
	28	51.60	20.64	0.00	1.00	1160.49	1236.21	6.52
	28	50.89	14.54	0.00	1.00	1052.18	757.07	28.05
	28	42.50	8.50	0.00	1.00	348.10	397.72	14.25
	28	51.60	10.32	0.00	1.00	321.71	397.72	23.63
	28	51.60	6.88	0.00	1.00	242.14	118.22	51.18
85:15	28	43.10	14.65	2.59	3.13	1806.99	1772.00	1.94
	28	50.89	12.36	2.18	3.13	837.38	1139.80	36.12
	28	58.69	9.98	1.76	3.13	505.27	665.61	31.73
	28	50.84	6.66	1.17	3.13	457.22	411.23	10.06
100:0	60	42.50	17.00	0.00	1.00	1372.75	1474.62	7.42
	60	51.60	20.64	0.00	1.00	1368.44	1474.62	7.76
	60	50.89	14.54	0.00	1.00	1178.19	887.95	24.63
	60	42.50	8.50	0.00	1.00	411.27	447.95	8.92
	60	51.60	10.32	0.00	1.00	388.79	447.95	15.22
	60	50.89	7.83	0.00	1.00	398.83	211.02	47.09
85:15	60	43.10	14.65	2.59	3.99	2215.37	2395.55	8.13
	60	50.89	12.36	2.18	3.99	1360.85	1545.78	13.59
	60	58.69	9.98	1.76	3.99	810.13	908.41	12.13
	60	50.84	6.66	1.17	3.99	769.54	566.49	26.39
Mean Absolute Percent Error, MAPE ( $MAPE = \frac{1}{n} \sum_{i=1}^n \frac{ q_{up} - q_{ul} }{q_{ul}} \times 100$ )								17.84 %

### 3.2 ดินเหนียวอ่อนกรุงเทพ

จากหลักการข้างต้นเมื่อนำดินเหนียวอ่อนกรุงเทพสมชีเมนต์และถ่านชีวมวลด้วยอัตราส่วนการแทนที่ 10 ถึง 40 เปอร์เซ็นต์โดยน้ำหนักของปูนซีเมนต์ ทำการแก้ปัญหาด้วยวิธี Multi Linear Regression ค่าตัวแปรประสิทธิภาพ  $k$  แสดงตั้งตารางที่ 5.4 จะเห็นว่าค่าตัวแปร  $k$  ที่อัตราส่วนการแทนที่หนึ่ง ๆ จะมีค่าเพิ่มขึ้นตามระยะเวลา จากผลทดสอบดินเหนียวอ่อนกรุงเทพ ผสมซีเมนต์และดินกรุงเทพซีเมนต์ผสมถ่านชีวมวลนำความสัมพันธ์จากสมการที่ 5.3 และตัวแปร  $k$  จากตารางที่ 5.4 มาประยุกต์ได้ดังภาพที่ 5.11 ซึ่งมีความสัมพันธ์เป็นแบบสมการเส้นตรง และพบว่าความสัมพันธ์ของค่าคงที่  $A$  และ  $E$  กับเวลาบนสเกลล์อกกาลิทึมได้ดังสมการที่ 5.7 และ 5.8 และภาพที่ 5.12 เมื่อ  $D$  คือระยะเวลาบ่ม (วัน)

$$A = 1686.86 + 439.38 \ln D \quad (5.7)$$

$$E = -235.65 + 56.95 \ln D \quad (5.8)$$

ตารางที่ 5.4

ตัวแปรประสิทธิภาพ  $k$  ของถ่านชีวมวลในดินเหนียวกรุงเทพสมชีเมนต์และถ่านชีวมวล

C:BioF	ระยะเวลาบ่ม,	Multi-Linear Regression		$R^2$	$k = \frac{A_2}{A}$
		วัน	A		
90:10	7	2282.16	830.43	0.862	0.36
	14	3189.34	1724.46	0.916	0.54
	28	3305.52	3870.34	0.912	1.17
	60	3531.17	5479.20	0.909	1.55
80:20	7	2239.94	1528.05	0.869	0.68
	14	3036.34	3969.41	0.873	1.31
	28	3105.50	4754.69	0.913	1.53
	60	3530.86	7256.07	0.921	2.06
70:30	7	2136.29	1182.08	0.805	0.55
	14	3224.47	3189.74	0.895	0.99
	28	3223.61	4600.51	0.915	1.43

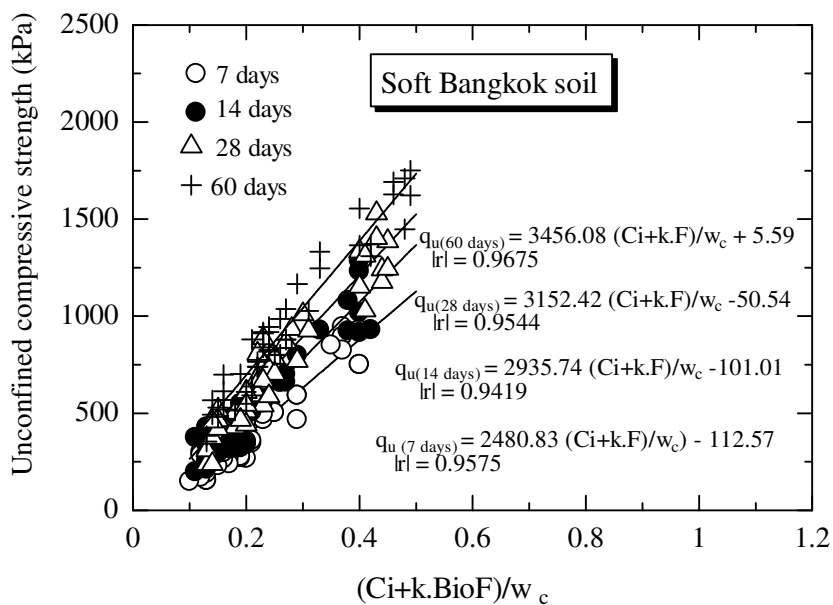
ตารางที่ 5.4 (ต่อ)

C:BioF	ระยะเวลาปั่น,	Multi-Linear Regression	$R^2$	$k = \frac{A_2}{A}$
	วัน	A	$A_2$	
	60	3774.67	6567.13	0.940
60:40	7	2008.31	654.25	0.799
	14	2966.89	1683.84	0.832
	28	3830.18	4581.51	0.917
	60	3916.82	5405.05	0.937

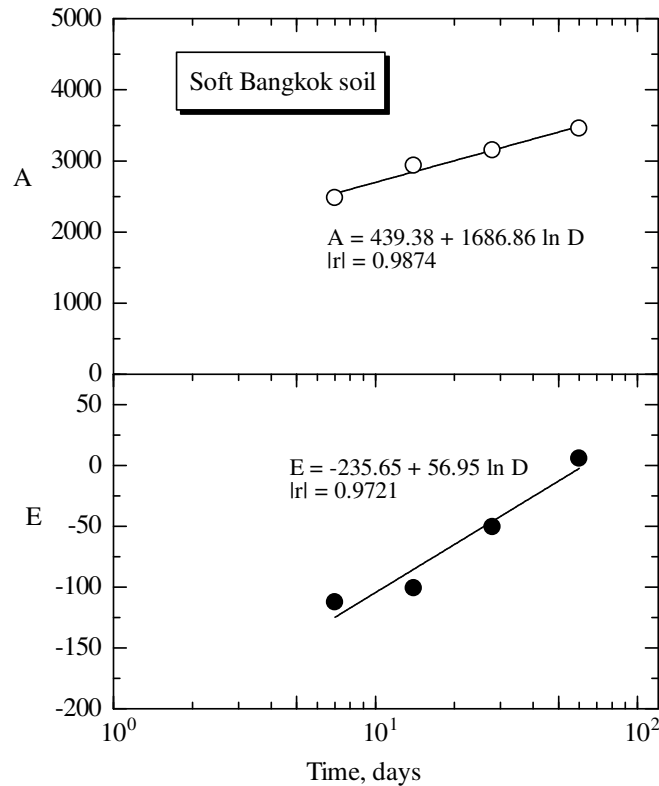
หมายเหตุ

$$1. C/w_c = 0.08-0.4 \quad BioF/w_c = 0 - 0.16$$

2.  $C:BioF = \text{ปริมาณซีเม็นต์: ปริมาณเก้าชีวมวล ในหน่วยเปอร์เซ็นต์}$



ภาพที่ 5.11 กำลังอัดแกนเดี่ยวของดินเหนียวอ่อนกรุงเทพผสานซีเม็นต์และ  
เก้าชีวมวล 10 ถึง 40 เปอร์เซ็นต์โดยน้ำหนักปูนซีเม็นต์ ที่อายุปั่นต่าง ๆ

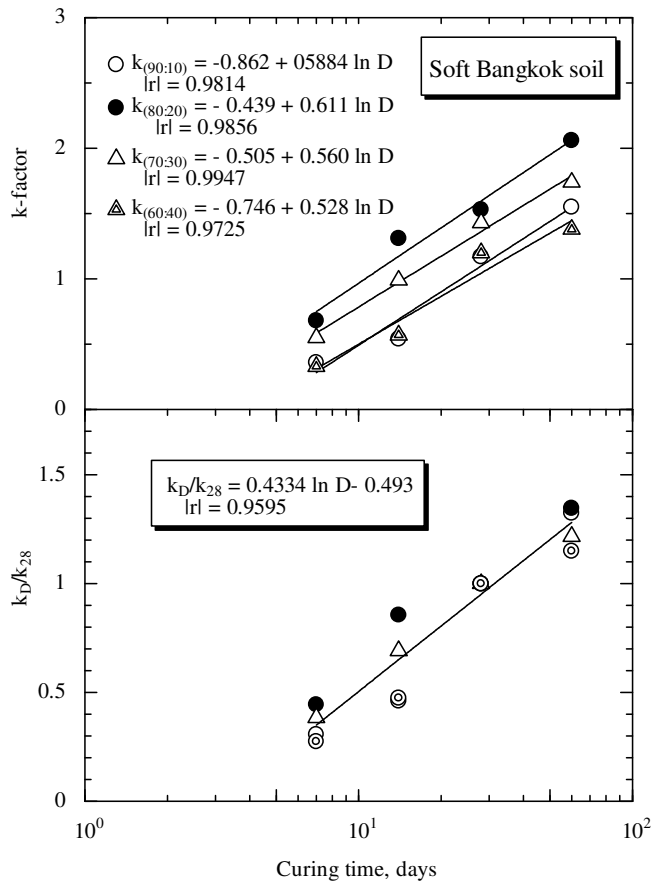


ภาพที่ 5.12 พารามิเตอร์ A และ E กับสเกล็อกการวิทีมของเวลาของดินเหนียวกรุงเทพ  
ผสมซีเมนต์และถ้าชีวมวล 10 ถึง 40 เปอร์เซ็นต์โดยน้ำหนักปูนซีเมนต์

จากตารางที่ 5.4 พบร่วมกับอัตราส่วนการแทนที่หนึ่ง ๆ ค่าตัวแปร  $k$  จะมีค่าเพิ่มขึ้นตามระยะเวลาบ่มดังนั้นพิจารณาอัตราการเปลี่ยนแปลงตัวแปรประสิทธิภาพ  $k$  กับเวลาในสเกล็อกกาลิทีมเข่นเดียวกับในกรณีของดิน coils ในที่พบร่วมกับความสัมพันธ์เป็นเส้นตรงดังในภาพที่ 5.13 และได้หากความสัมพันธ์ระหว่าง Normalized  $k$ -factor กับเวลาโดยใช้ระยะเวลาบ่มที่ 28 วันเป็นตัวค้างอยู่ได้ผลดังสมการที่ 5.9

$$\frac{k_D}{k_{28}} = 0.4334 \ln D - 0.493 \quad (5.9)$$

เมื่อ  $k_D$  คือตัวแปรประสิทธิภาพที่ระยะเวลาบ่มหลังจาก  $D$  วัน,  $k_{28}$  คือตัวแปรประสิทธิภาพที่ระยะเวลาบ่มหลังจาก 28 วัน



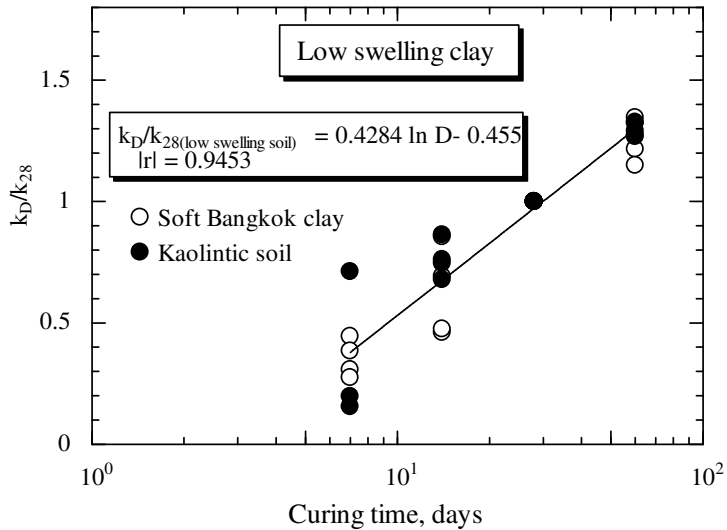
ภาพที่ 5.13 ความสัมพันธ์ระหว่างตัวแปรประสิทธิภาพ  $k$  ของดินกรุงเทพกับเวลาว่ามกับ

Normalization

จากสมการที่ 5.6 และ 5.9 พบร่วมกันว่าความสัมพันธ์ระหว่าง Normalized  $k$ -factor ของถ่านหินมวลสำหรับดินค่าโอลินท์และดินเนียนิวอ่อนกรุงเทพกับเวลาโดยใช้ระยะเวลาบ่มที่ 28 วันเป็นตัว变量อยู่ในน้ำมีค่าใกล้เคียงกัน สำหรับดินบ่มตัวต่ำหนึ่ง ๆ ที่แต่ละอัตราส่วนการแทนที่จะมีตัวแปรประสิทธิภาพ  $k$  ขึ้นอยู่กับชนิดของดินและชนิดของถ่านหินนี้จะมีค่าเพิ่มขึ้นตามระยะเวลา แต่จะมีค่าอัตราการเปลี่ยนแปลงตัวแปรประสิทธิภาพ  $k$  กับเวลาในสเกลล์ของการบ่มคงที่ ดังนั้น จากภาพที่ 5.14 ผู้เขียนขอแนะนำวิธีการทำนายค่าตัวแปรประสิทธิภาพ  $k$  ของถ่านหินมวลนี้สำหรับดินบ่มตัวต่ำที่ระยะเวลาบ่มต่าง ๆ (7 – 60 วัน) เพียงทำการทดสอบกลังอัดแกนเดียวของดินชีเมนต์ ถ่านหินมวลที่อัตราส่วนการแทนที่ต่าง ๆ ที่ระยะเวลาบ่ม 28 วันเพียงการทดสอบเดียวเท่านั้นดังสมการที่ 5.10

สำหรับดินบ่มตัวต่ำ (7 – 60 วัน)

$$\frac{k_D}{k_{28}} = 0.4284 \ln D - 0.455 \quad (5.10)$$



ภาพที่ 5.14 ความสัมพันธ์ระหว่าง Normalization ของตัวแปรประสิทธิภาพ  $k$  ของดินเหนียวบวมตัวต่ำผสานซีเมนต์และเก้าชีวนะกับเวลา

#### สมการทำนายกำลังอัดแกนเดียวของดินซีเมนต์เก้าชีวนะ

จากสมการที่ 4.8 จะได้สมการที่สามารถทำนายกำลังของดินซีเมนต์ที่ปริมาณความชื้น ( $LI = 1 - 2$  สำหรับดินบวมตัวต่ำ และ  $LI = 0.6 - 1$  สำหรับดินบวมตัวสูง) ปริมาณซีเมนต์ และ ระยะปั๊มไดๆ โดยอาศัยเพียงแค่ผลการทดสอบเดียวที่อายุปั๊ม 28 วัน ซึ่งสมการนี้เป็นสมการสากล ที่สามารถใช้ได้กับดินทุกชนิด ผู้เขียนคาดว่าสมการที่ 4.8 สามารถประยุกต์ใช้กับดินซีเมนต์เก้าชีวนะ โดยเรียกส่วนผสมระหว่างซีเมนต์และเก้าชีวนะว่า 'สตูเชื่อมประسان' (Binder) ดังนั้น สมการที่ 4.8 ถูกประยุกต์และสามารถเขียนใหม่เป็น

สำหรับดินที่ครอบคลุมการบวมตัวต่ำถึงสูง ( $7 - 60$  วัน)

$$\left\{ \frac{q_{(w_c/C^*)_D}}{q_{(w_c/C^*)_{28}}} \right\} = \left[ \frac{(w_c/C^*)_{28}}{(w_c/C^*)_D} \right]^{1.40} (0.103 + 0.265 \ln D) \quad (5.11)$$

เมื่อ  $C^*$  คือปริมาณซีเมนต์เทียบเท่า ซึ่งมีค่าเท่ากับ

$$C^* = C_i + k \cdot BioF \quad (5.12)$$

เมื่อ  $k$  คือตัวแปรประสิทธิภาพ ซึ่งจะมีค่าเพิ่มขึ้นตามอายุบ่ม  $C_i$  คือปริมาณซีเมนต์ที่ใส่ในการผสม (%) และ  $BioF$  คือปริมาณถ้าชีวมวล (%) และเมื่อเราสามารถทราบความสัมพันธ์ของอัตราการเปลี่ยนแปลงตัวแปรประสิทธิภาพ  $k$  จากสมการที่ 5.10 ในกรณีของดินบ่มตัวต่อ

จากความสัมพันธ์ในสมการที่ 5.11 เราสามารถทำนายกำลังอัดแกนเดียวของดินซีเมนต์ถ้าชีวมวลเพียงทำการทดสอบ Sobel ที่อัตราส่วนการแทนที่ต่าง ๆ (10 – 40%) และที่ระยะเวลาบ่ม 28 วันเท่านั้นได้ ซึ่งจะใช้เป็นข้อมูลอ้างอิงในการช่วยทำนายกำลังอัดแกนเดียวของดินซีเมนต์ถ้าชีวมวลที่ระยะเวลาบ่มต่าง ๆ (7-60 วัน) ที่อัตราส่วนผสมต่าง ๆ ในที่นี้ผู้เขียนขอเลือกตัวอย่างทดสอบดังตารางที่ 5.5 เมื่อตัวแปรประสิทธิภาพ  $k$  หาได้จากการแก้ปัญหาด้วยวิธี Multi Linear Regression ได้ผลดังในตารางที่ 5.5 และอาศัยสมการที่ 5.10 ในการทำค่าตัวแปรประสิทธิภาพ  $k$  ที่ระยะเวลาบ่มอื่น ๆ ของแต่ละอัตราส่วนการแทนที่หนึ่ง ๆ ดังนั้นประยุกต์ใช้สมการที่ 5.11 ในการทำนายกำลังอัดแกนเดียวของดินซีเมนต์ถ้าชีวมวลแสดงดังในตารางที่ 5.6 ถึง 5.8 พบว่าความผิดพลาดของผลการทำนายจากค่า Mean Absolute Percent Eror, MAPE เท่ากับ 20.73%, 17.77% และ 15.97% สำหรับที่อายุบ่ม 7, 14 และ 60 วัน ตามลำดับ ซึ่งอยู่ในเกณฑ์ยอมรับได้ในทางวิศวกรรม และพบว่าความคลาดเคลื่อนที่เกิดขึ้นจะน้อยลงตามระยะเวลาบ่มที่มากขึ้น

### ตารางที่ 5.5

กำลังอัดแกนเดียวของดินเหนียวกรุงเทพผสมซีเมนต์และถ้าชีวมวลที่อายุบ่ม 28 วัน

( $LL = 92.15\%$  and  $PL = 42.5\%$ )

C:BioF	Time,	$w_c$	$C_i$	$BioF$	$k$	$w_c/C^*$	Laboratory	Remark
							strength, $q_{ul}$	
days	, %	, %	, %	, %	kPa			
100:0	28	92.15	25.00	0	1.00	3.69	866.59	Reference
	28	110.94	25.00	0	1.00	4.44	733.55	
90:10	28	92.15	22.50	2.50	1.13	3.64	934.08	
	28	110.94	22.50	2.50	1.13	4.38	684.43	
80:20	28	92.15	20.00	5.00	1.55	3.32	1009.78	
	28	110.94	20.00	5.00	1.55	4.00	786.47	

ตารางที่ 5.5 (ต่อ)

C:BioF	Time,	$w_c$	$C_i$	BioF	$k$	$w_c/C^*$	Laboratory	Remark
	days	, %	, %	, %			strength, $q_{ul}$	
70:30	28	92.15	17.50	7.50	1.06	3.62	926.26	
	28	110.94	17.50	7.50	1.06	4.36	703.81	
60:40	28	92.15	15.00	10.00	0.67	4.25	769.40	
	28	110.94	15.00	10.00	0.67	5.11	587.47	

หมายเหตุ - ตัวแปรประสิทธิภาพ  $k$  หาได้จากการแก้ปัญหาด้วยวิธี Multi Linear Regression

ตารางที่ 5.6

การทำนายกำลังอัดแกนเดี่ยวของดินเหนียวกรุงเทพฯ ผสมซีเมนต์และถ่านหินมวลที่อยู่บ่อม 7 วัน

C:BioF	Time,	$w_c$	$C_i$	BioF	$k$	Laboratory strength, $q_{ul}$	Predicted strength, $q_{up}$	$\frac{ q_{up} - q_{ul} }{q_{ul}} \times 100$
	days	, %	, %	, %	(Eq.5.10)	kPa	kPa (Eq.5.11)	, %
100:0	7	103.00	41.20	0.00	1.00	928.54	924.68	0.42
	7	167.80	67.12	0.00	1.00	751.47	924.68	23.05
	7	110.94	31.70	0.00	1.00	593.49	577.31	2.73
	7	129.72	37.06	0.00	1.00	592.78	577.31	2.61
	7	110.94	24.99	0.00	1.00	466.81	413.78	11.36
	7	110.94	20.17	0.00	1.00	365.85	306.62	16.19
	7	129.72	19.96	0.00	1.00	305.28	242.68	20.51
	7	103.00	13.73	0.00	1.00	154.24	198.62	28.77
	7	167.80	22.37	0.00	1.00	190.02	198.62	4.52
90:10	7	103.00	37.08	4.12	0.43	944.71	851.47	9.87
	7	167.80	60.41	6.71	0.43	604.33	851.47	40.89
	7	103.00	18.54	2.06	0.43	513.50	322.65	37.17
	7	167.80	30.20	3.34	0.43	270.13	322.52	19.40
	7	103.00	12.36	1.37	0.43	299.91	182.89	39.02
	7	167.80	20.14	2.24	0.43	195.71	182.89	6.55
	7	92.15	22.50	2.50	0.43	504.04	494.43	1.91

ตารางที่ 5.6 (ต่อ)

C:BioF	Time, days	$w_c$ , %	$C_i$ , %	$BioF$ , %	$k$ (Eq.5.10)	Laboratory strength, $q_u$	Predicted strength, $q_{up}$	$\frac{ q_{up} - q_u }{q_u} \times 100$ , %
						kPa	kPa (Eq.5.11)	
80:20	7	92.15	18.00	2.00	0.43	457.23	361.77	20.88
	7	110.94	22.50	2.50	0.43	347.32	381.31	9.78
	7	110.94	18.00	2.00	0.43	247.93	279.00	12.53
70:30	7	103.00	32.96	8.24	0.59	894.98	819.51	8.43
	7	167.80	53.70	13.42	0.59	824.55	819.51	0.61
	7	103.00	16.48	4.12	0.59	558.64	310.54	44.41
	7	167.80	26.85	6.71	0.59	278.19	310.54	11.63
	7	103.00	10.99	2.75	0.59	285.34	176.03	38.31
	7	167.80	17.90	4.47	0.59	199.94	176.03	11.96
	7	92.15	20.00	5.00	0.59	503.59	475.88	5.50
	7	92.15	16.00	4.00	0.59	456.90	348.19	23.79
	7	110.94	20.00	5.00	0.59	359.80	367.00	2.00
	7	110.94	16.00	4.00	0.59	266.36	268.53	0.81
60:40	7	103.00	28.84	12.36	0.40	851.01	700.86	17.64
	7	167.80	46.98	20.14	0.40	485.18	700.86	44.45
	7	103.00	14.42	6.18	0.40	539.03	265.58	50.73
	7	167.80	23.49	10.07	0.40	238.72	265.58	11.25
	7	103.00	9.61	4.12	0.40	327.12	150.54	53.98
	7	167.80	15.66	6.71	0.40	170.70	150.54	11.81
	7	92.15	17.50	7.50	0.40	493.63	406.98	17.56
	7	92.15	14.00	6.00	0.40	449.93	297.78	33.82
	7	110.94	17.50	7.50	0.40	357.49	313.86	12.20
	7	110.94	14.00	6.00	0.40	264.09	229.65	13.04

ตารางที่ 5.6 (ต่อ)

C:BioF	Time,	$w_c$	$C_i$	$BioF$	$k$	Laboratory	Predicted	$\frac{ q_{up} - q_{ul} }{q_{ul}} \times 100$
						strength, $q_{ul}$	strength, $q_{up}$	, %
days	, %	, %	, %	(Eq.5.10)	kPa	kPa (Eq.5.11)	, %	
	7	92.15	15.00	10.00	0.25	448.07	326.85	27.06
	7	92.15	12.00	8.00	0.25	358.45	239.15	33.28
	7	110.94	15.00	10.00	0.25	297.00	252.07	15.13
	7	110.94	12.00	8.00	0.25	246.05	184.43	25.04
Mean Absolute Percent Error, MAPE (MAPE = $\frac{1}{n} \sum_{i=1}^n \frac{ q_{up} - q_{ul} }{q_{ul}} \times 100$ )								20.73 %

ตารางที่ 5.7

ผลทำนายกำลังขัดแgn เดี่ยวของดินเหนียวกรุ่นเทพพสมชีเมนต์และถ้าซีมวลที่อายุปัจจุบัน 14 วัน

C:BioF	Time,	$w_c$	$C_i$	$BioF$	$k$	Laboratory	Predicted	$\frac{ q_{up} - q_{ul} }{q_{ul}} \times 100$
						strength, $q_{ul}$	strength, $q_{up}$	, %
days	, %	, %	, %	(Eq.5.10)	kPa	kPa (Eq.5.11)	, %	
100:0	14	103.00	41.20	0.00	1.00	1284.92	1199.22	6.67
	14	167.80	67.12	0.00	1.00	1020.20	1199.22	17.55
	14	92.15	24.97	0.00	1.00	701.26	695.31	0.85
	14	110.94	24.99	0.00	1.00	553.30	536.63	3.01
	14	92.15	19.99	0.00	1.00	600.76	509.14	15.25
	14	103.00	20.60	0.00	1.00	352.05	454.42	29.08
	14	167.80	33.56	0.00	1.00	339.26	454.42	33.94
	14	110.94	20.17	0.00	1.00	399.55	397.66	0.47
	14	103.00	13.73	0.00	1.00	211.67	257.59	21.70
	14	167.80	22.37	0.00	1.00	234.10	257.59	10.04
90:10	14	103.00	37.08	4.12	0.76	1079.91	1159.68	7.39
	14	167.80	60.41	6.71	0.76	924.33	1159.68	25.46
	14	103.00	18.54	2.06	0.76	550.12	439.44	20.12
	14	167.80	30.20	3.34	0.76	321.64	439.15	36.53

ตารางที่ 5.7 (ต่อ)

C:BioF	Time, days	$w_c$	$C_i$	$BioF$	$k$ (Eq.5.10)	Laboratory strength, $q_{ul}$	Predicted strength, $q_{up}$	$\frac{ q_{up} - q_{ul} }{q_{ul}} \times 100$ , %
						kPa	kPa (Eq.5.11)	
14	14	103.00	12.36	1.37	0.76	340.15	249.10	26.77
	14	167.80	20.14	2.24	0.76	282.96	249.10	11.97
	14	92.15	22.50	2.50	0.76	658.34	673.41	2.29
	14	92.15	18.00	2.00	0.76	597.12	492.72	17.48
	14	110.94	22.50	2.50	0.76	501.76	519.34	3.50
	14	110.94	18.00	2.00	0.76	345.05	379.99	10.13
80:20	14	103.00	32.96	8.24	1.05	929.97	1215.08	30.66
	14	103.00	16.48	4.12	1.05	593.22	460.43	22.39
	14	103.00	10.99	2.75	1.05	294.77	260.99	11.46
	14	167.80	17.90	4.47	1.05	297.98	261.00	12.41
	14	92.15	20.00	5.00	1.05	799.18	705.57	11.71
	14	92.15	16.00	4.00	1.05	682.73	516.26	24.38
	14	110.94	20.00	5.00	1.05	752.09	544.14	27.65
	14	110.94	16.00	4.00	1.05	470.46	398.14	15.37
70:30	14	103.00	28.84	12.36	0.72	1232.09	1058.71	14.07
	14	167.80	46.98	20.14	0.72	916.00	1058.71	15.58
	14	103.00	14.42	6.18	0.72	557.25	401.18	28.01
	14	167.80	23.49	10.07	0.72	346.94	401.18	15.63
	14	103.00	9.61	4.12	0.72	429.07	227.41	47.00
	14	167.80	15.66	6.71	0.72	251.05	227.41	9.42
	14	92.15	17.50	7.50	0.72	660.41	614.77	6.91
	14	92.15	14.00	6.00	0.72	612.72	449.82	26.59
	14	110.94	17.50	7.50	0.72	574.31	474.12	17.45
	14	110.94	14.00	6.00	0.72	319.56	346.91	8.56
60:40	14	103.00	24.72	16.48	0.45	928.40	848.50	8.61
	14	167.80	40.27	26.85	0.45	645.42	848.50	31.46
	14	167.80	20.14	13.42	0.45	316.27	321.52	1.66
	14	167.80	13.42	8.95	0.45	197.66	182.26	7.79

ตารางที่ 5.7 (ต่อ)

C:BioF	Time,	$w_c$	$C_i$	BioF	k	Laboratory strength, $q_{ul}$	Predicted strength, $q_{up}$	$\frac{ q_{up} - q_{ul} }{q_{ul}} \times 100$
	days	, %	, %	, %	(Eq.5.10)	kPa	kPa (Eq.5.11)	, %
	14	103.00	12.36	8.24	0.45	651.84	321.52	50.67
	14	103.00	8.24	5.49	0.45	375.25	182.26	51.43
	14	92.15	15.00	10.00	0.45	555.59	492.71	11.32
	14	92.15	12.00	8.00	0.45	486.04	360.51	25.83
	14	110.94	15.00	10.00	0.45	444.88	379.98	14.59
	14	110.94	12.00	8.00	0.45	290.50	278.03	4.29
Mean Absolute Percent Error, MAPE ( $MAPE = \frac{1}{n} \sum_{i=1}^n \frac{ q_{up} - q_{ul} }{q_{ul}} \times 100$ )								
17.77 %								

ตารางที่ 5.8

ผลทำนายกำลังอัดแกนเดี่ยวของดินเหนียวกรุ่นเทพพสมชีเมนต์และถ้าซีมวลที่อายุปัจจุบัน 60 วัน

C:BioF	Time,	$w_c$	$C_i$	BioF	k	Laboratory strength, $q_{ul}$	Predicted strength, $q_{up}$	$\frac{ q_{up} - q_{ul} }{q_{ul}} \times 100$
	days	, %	, %	, %	(Eq.5.10)	kPa	kPa (Eq.5.11)	, %
100:0	60	103.00	41.20	0.00	1.00	1555.17	1775.63	14.18
	60	167.80	67.12	0.00	1.00	1364.20	1775.63	30.16
	60	92.15	24.97	0.00	1.00	1037.35	1029.51	0.76
	60	110.94	24.99	0.00	1.00	838.70	794.57	5.26
	60	92.15	19.99	0.00	1.00	737.93	753.85	2.16
	60	103.00	20.60	0.00	1.00	549.33	672.84	22.48
	60	167.80	33.56	0.00	1.00	609.26	672.84	10.44
	60	110.94	20.17	0.00	1.00	513.51	588.79	14.66
	60	103.00	13.73	0.00	1.00	353.46	381.40	7.90
	60	167.80	22.37	0.00	1.00	383.44	381.40	0.53
90:10	60	103.00	37.08	4.12	1.47	1369.75	1893.02	38.20
	60	167.80	60.41	6.71	1.47	1308.74	1893.02	44.64

ตารางที่ 5.8 (ต่อ)

C:BioF	Time, days	$w_c$	$C_i$	$BioF$	$k$ (Eq.5.10)	Laboratory strength, $q_{ul}$	Predicted strength, $q_{up}$	$\frac{ q_{up} - q_{ul} }{q_{ul}} \times 100$ , %
						kPa	kPa (Eq.5.11)	
	60	103.00	18.54	2.06	1.47	879.99	717.32	18.49
	60	167.80	30.20	3.34	1.47	637.91	716.46	12.31
	60	103.00	12.36	1.37	1.47	566.90	406.62	28.27
	60	167.80	20.14	2.24	1.47	492.78	406.62	17.49
	60	92.15	22.50	2.50	1.47	1165.63	1099.24	5.70
	60	92.15	18.00	2.00	1.47	917.99	804.30	12.38
	60	110.94	22.50	2.50	1.47	825.64	847.74	2.68
	60	110.94	18.00	2.00	1.47	702.31	620.28	11.68
80:20	60	103.00	32.96	8.24	2.01	1709.21	2299.16	34.52
	60	167.80	53.70	13.42	2.01	1447.69	2299.16	58.82
	60	103.00	16.48	4.12	2.01	918.37	871.22	5.13
	60	167.80	26.85	6.71	2.01	818.31	871.22	6.47
	60	103.00	10.99	2.75	2.01	698.53	493.85	29.30
	60	167.80	17.90	4.47	2.01	613.65	493.85	19.52
	60	92.15	20.00	5.00	2.01	1332.32	1335.08	0.21
	60	92.15	16.00	4.00	2.01	985.82	976.86	0.91
	60	110.94	20.00	5.00	2.01	880.28	1029.62	16.97
	60	110.94	16.00	4.00	2.01	764.99	753.36	1.52
70:30	60	103.00	28.84	12.36	1.38	1750.73	2062.97	17.83
	60	167.80	46.98	20.14	1.38	1621.84	2062.97	27.20
	60	103.00	14.42	6.18	1.38	1112.96	781.72	29.76
	60	167.80	23.49	10.07	1.38	945.03	781.72	17.28
	60	103.00	9.61	4.12	1.38	567.65	443.12	21.94
	60	167.80	15.66	6.71	1.38	519.42	443.12	14.69
	60	92.15	17.50	7.50	1.38	1246.36	1197.93	3.89
	60	92.15	14.00	6.00	1.38	877.75	876.51	0.14
	60	110.94	17.50	7.50	1.38	835.99	923.85	10.51
	60	110.94	14.00	6.00	1.38	739.58	675.97	8.60

### ตารางที่ 5.8 (ต่อ)

C:BioF	Time,	$w_c$	$C_i$	$BioF$	$k$	Laboratory	Predicted	$\frac{ q_{up} - q_{ul} }{q_{ul}} \times 100$
						strength, $q_{ul}$	strength, $q_{up}$	
	days	, %	, %	, %	(Eq.5.10)	kPa	kPa (Eq.5.11)	, %
60:40	60	103.00	24.72	16.48	0.87	1690.88	1648.05	2.53
	60	167.80	40.27	26.85	0.87	1626.57	1648.05	1.32
	60	103.00	12.36	8.24	0.87	1088.54	624.49	42.63
	60	167.80	20.14	13.42	0.87	911.90	624.49	31.52
	60	103.00	8.24	5.49	0.87	528.57	354.00	33.03
	60	167.80	13.42	8.95	0.87	480.96	354.00	26.40
	60	92.15	15.00	10.00	0.87	1026.84	956.99	6.80
	60	92.15	12.00	8.00	0.87	798.72	700.22	12.33
Mean Absolute Percent Error, MAPE (MAPE = $\frac{1}{n} \sum_{i=1}^n \frac{ q_{up} - q_{ul} }{q_{ul}} \times 100$ )								15.97 %